# Исследование работы адаптивного алгоритма идентификации электрических параметров асинхронного электродвигателя в условиях искажения измеряемых сигналов

М. В. Таланов, В. М. Таланов

Национальный исследовательский мордовский государственный университет имени Н. П. Огарёва г. Саранск, Республика Мордовия

# mvtal@mail.ru

Аннотация. работе предлагается алгоритм определения параметров асинхронного электродвигателя шумов измеряемых Рассматриваемый алгоритм дифференциальных уравнениях, описывающих изменение проекций тока статора в режиме короткого замыкания электродвигателя. Разработанный алгоритм параметров может быть использован микропроцессорной реализации режима автоматического параметров электродвигателя определения бездатчиковых систем управления электроприводом.

Ключевые слова: асинхронный электродвигатель; адаптивный фильтр; идентификация параметров; шум сигнала; бездатчиковая система управления электроприводом

### І. Введение

работе В данной предлагается алгоритм идентификации параметров асинхронного электродвигателя при искажении измеряемых сигналов и приводится анализ предложенного алгоритма. Разработка такого алгоритма идентификации актуальна микропроцессорных систем электроприводом, где применяется ШИМ-модуляция сигналов [1, 2].

При наличии шума в измеряемом сигнале прибегают к частотной фильтрации, чтобы выделить полезную составляющую. Назначение частотного фильтра в том, чтобы обеспечить наибольшее значение коэффициента передачи  $K(j\omega)$  в области частот, на которую приходится основная доля энергии сигнала,  $K(j\omega)$ наименьшее значение там. где велика спектральная плотность мощности шума.

Для описания относительного уровня сигнала используется такая характеристика как отношение сигнал/шум на входе и выходе фильтра:

$$Q_{ex} = \frac{\left\langle s_{ex}^2 \right\rangle}{\sigma_{nex}^2} \tag{1}$$

$$Q_{6bix} = \frac{\left\langle s_{6bix}^2 \right\rangle}{\sigma_{n6bix}^2},\tag{2}$$

где  $\left\langle s_{ex}^2 \right\rangle$ ,  $\left\langle s_{esx}^2 \right\rangle$  — средний квадрат входного и выходного сигнала;  $\sigma_{nex}^2$ ,  $\sigma_{nesx}^2$  — дисперсия входного и выходного шума.

Для фильтра с коэффициентом передачи  $K(j\omega)$  отношение сигнал/шум на выходе фильтра определяется как:

$$Q_{\text{\tiny GbLX}} = \frac{\left\langle s_{\text{\tiny GbLX}}^2 \right\rangle}{\sigma_{\text{\tiny RGbLX}}^2} = \frac{\frac{1}{2} \sum_{k=0}^{\infty} A_k^2 \left| K(j\omega_k) \right|^2}{\int\limits_0^{\infty} F_n(\omega) \left| K(j\omega) \right|^2 d\omega}$$
(3)

где  $F_n(\omega)$  – спектральная плотность мощности входного шума;  $A_k$  – амплитуды в спектре входного сигнала.

Уравнение (3) позволяет, зная спектры входного сигнала и шума, так подобрать АЧХ фильтра, чтобы получить существенное увеличение относительной доли полезного сигнала.

Величина  $Q_{\rm \scriptscriptstyle GMX}$  /  $Q_{\rm \scriptscriptstyle GX}$  называется выигрышем фильтра по отношению сигнал/шум:

$$M_{\phi} = \frac{Q_{\text{\tiny GbLX}}}{Q_{\text{\tiny gr}}} \tag{4}$$

Если  $M_{\phi} > 1$ , то фильтрация суммы сигнала и шума приводит к повышению относительного уровня полезного сигнала на выходе фильтра.

# II. УРАВНЕНИЯ ИДЕНТИФИКАТОРА

В работе [3] предложены дифференциальные уравнения описывающие изменение токов статора асинхронного электродвигателя в режиме короткого замыкания, основанные на математической модели обобщенной электрической машины в неподвижной системе координат  $(\alpha,\beta)$ .

Для определения параметров асинхронного электродвигателя в условиях искажения измеряемых сигналов необходимо оценить коэффициенты

передаточной функции, записанной по дифференциальному уравнению из [3, 4]:

$$W_0(p) = \frac{B(p)}{A(p)} = \frac{b_1 p + b_2}{p^2 + a_1 p + a_2}$$
 (5)

Для этого составим уравнения адаптивного идентификатора, который определяет коэффициенты числителя  $b_1$ ,  $b_2$  при заданных коэффициентах знаменателя  $a_1$ ,  $a_2$  передаточной функции  $W_0(p)$ .

Запишем передаточную функцию ФНЧ Баттерворта 2-го порядка с заданной частотой среза  $\omega_{cv}$  :

$$W_{\phi}(p) = \frac{\alpha_2}{p^2 + \alpha_1 p + \alpha_2} \tag{6}$$

Коэффициент передачи такого фильтра будет равен:

$$\left|K(j\omega)\right|^2 = \frac{\alpha_2^2}{(\alpha_1\omega)^2 + (\alpha_2 - \omega^2)^2} \tag{7}$$

Зададим операторный полином, соответствующий знаменателю передаточной функции (6):

$$A_0(p) = p^n + \alpha_1 p^{(n-1)} + \dots + \alpha_{(n)},$$
 (8)

где n=2.

Составим математическую модель идентификатора, используя передаточную функцию  $W_0(p)$  :

$$A(p)y(p) = B(p)u(p)$$
(9)

где y(p) – образ выходного сигнала тока короткого замыкания; u(p) – образ входного сигнала напряжения короткого замыкания.

Умножим левую и правую часть уравнения (9) на  $W_\phi(p)$  и выразим y(p) :

$$\frac{[A_0(p) - A_0(p) + A(p)]}{A_0(p)} y(p) = \frac{B(p)}{A_0(p)} u(p) (10)$$

$$y(p) = \frac{A_0(p) - A(p)}{A_0(p)} y(p) + \frac{B(p)}{A_0(p)} u(p)$$
 (11)

Введем новые переменные:

$$\tilde{y}_i(p) = \frac{p^{i-1}}{A_0(p)} y(p) \tag{12}$$

$$\tilde{u}_i(p) = \frac{p^{i-1}}{A_0(p)} u(p), \qquad (13)$$

где i = 1, 2, ..., n.

Запишем уравнения фильтров входных сигналов относительно новых переменных:

$$\tilde{y}(t) = A\tilde{y}(t) + By(t) \tag{14}$$

$$\tilde{u}(t) = A\tilde{u}(t) + Bu(t), \tag{15}$$

где

$$A = \begin{bmatrix} 0 & 1 & 0 & \dots & 0 \\ 0 & 0 & 1 & \dots & 0 \\ \dots & \dots & \dots & \dots & \dots \\ 0 & 0 & 0 & \dots & 1 \\ -\alpha_n & -\alpha_{(n-1)} & -\alpha_{(n-2)} & \dots & -\alpha_{(1)} \end{bmatrix}, n \times n$$

$$B = \begin{bmatrix} 0 & 0 & \dots & 0 & 1 \end{bmatrix}^T, n \times 1$$

Обозначим матрицу сигналов как:

$$W(t) = \left[\widetilde{y}_{n}(t)...\widetilde{y}_{1}(t)\widetilde{u}_{n}(t)...\widetilde{u}_{1}(t)\right]$$
(16)

Оценка выходного сигнала тока короткого замыкания будет выражаться как:

$$\hat{y}(t) = W(t)\hat{a}(t), \tag{17}$$

где  $\hat{a}(t) = [(\alpha_1 - a_1) \quad (\alpha_2 - a_2) \quad \hat{b}_1 \quad \hat{b}_2]^T$  – оценка неизвестных параметров в передаточной функции (5).

Прогнозируемая ошибка выражается как:

$$e(t) = \hat{y}(t) - y(t) \tag{18}$$

Итак, оценка коэффициентов числителя передаточной функции  $W_0(p)$  находится из решения следующего дифференциального уравнения:

$$\hat{a}(t) = -\gamma W^{T}(t)e(t), \tag{19}$$

где  $\gamma$  – заданный положительный коэффициент.

Запишем нормированный коэффициент взаимной корреляции двух сигналов  $x_1(n)=\hat{I}_{\kappa 3\alpha}(n)$ ,  $x_2(n)=I_{\kappa 3\alpha}(n)$ , чтобы определить качество оценки  $\hat{I}_{\kappa 3\alpha}(n)$  при корректной оценке коэффициентов передаточной функции  $W_0(p)$ :

$$\rho_{12}(j) = \frac{r_{12}(j)}{\frac{1}{N} \sqrt{\sum_{n=0}^{N-1} x_1^2(n) \sum_{n=0}^{N-1} x_2^2(n)}}, j = 0, ..., N \quad (20)$$

$$r_{12}(j) = \frac{1}{N} F_D^{-1}[X_1(n)X_2(n)], \qquad (21)$$

где N – размер выборки;  $F_D^{-1}$  – обратное дискретное преобразование Фурье (ОДПФ);  $X_1(n)$  – ДПФ-образ

 $x_1(n)$ ;  $X_2(n)$  — ДПФ-образ  $x_2(n)$ ; j — заданная задержка; знак «\*» обозначает комплексносопряженные значения.

Коэффициент взаимной корреляции  $\rho_{xy}(j)$  показывает степень совпадения двух сигналов, где j – задержка второго сигнала, т.е. число точек выборки, на которое второй сигнал смещается влево. Коэффициент  $\rho_{xy}(j)$  может принимать значения в диапазоне от -1 до +1, причем (+1) означает, что два сигнала полностью совпадают, (-1) – два сигнала находятся в противофазе. Значение (0) означает, что один из сигналов абсолютно случаен. При практических расчетах коэффициент корреляции необходимо находить для различных задержек, чтобы установить наибольшее значение, которое затем считается истинным.

# III. Результаты моделирования

На рис. 1 показаны проекции измеряемых сигналов в режиме короткого замыкания для неподвижной системы координат ( $\alpha$ , $\beta$ ).

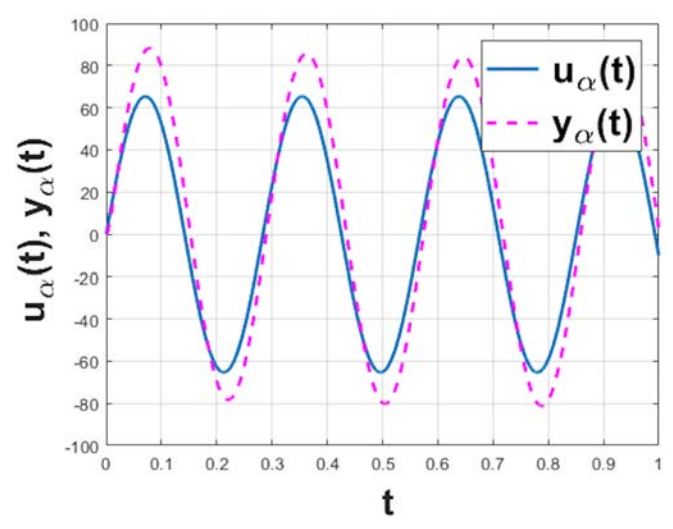


Рис. 1. Проекции сигналов напряжения и тока короткого замыкания

На рис. 2 показаны проекции измеряемых сигналов в режиме короткого замыкания для неподвижной системы координат ( $\alpha$ , $\beta$ ) при наличии шума.

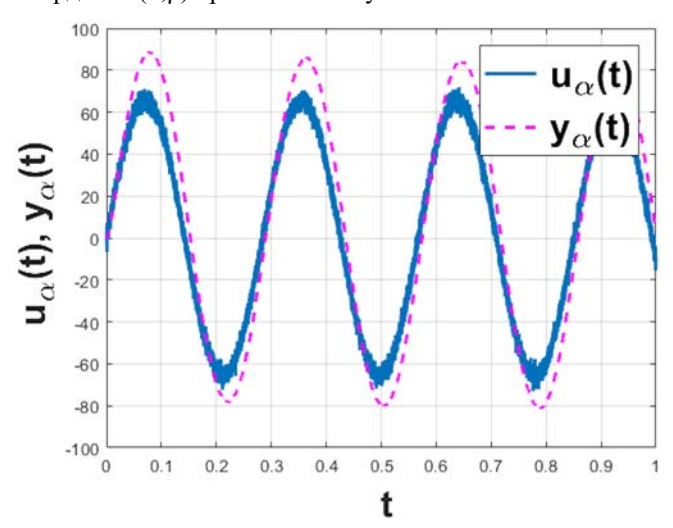


Рис. 2. Проекции сигналов напряжения и тока короткого замыкания при наличии шума

На рис. 3 показаны проекции измеряемых сигналов в режиме короткого замыкания для неподвижной системы координат  $(\alpha,\beta)$  при ШИМ-модуляции входного напряжения.

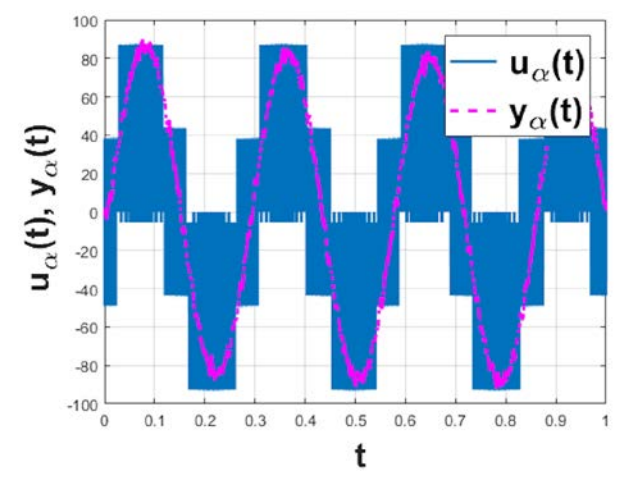


Рис. 3. Проекции сигналов напряжения и тока короткого замыкания при ШИМ-модуляции

В табл. 1 представлена оценка параметров электродвигателя в случае использования измеренных сигналов идеальной формы, показанных на рис. 1. Теоретические параметры схемы замещения электродвигателя RA132MB2 были рассчитаны по паспортным данным по методике из [5].

ТАБЛИЦА I. ОЦЕНКА ЭЛЕКТРИЧЕСКИХ ПАРАМЕТРОВ ЭЛЕКТРОДВИГАТЕЛЯ RA132MB2 В СЛУЧАЕ СИГНАЛОВ БЕЗ ШУМА

Параметры схемы замещения электродвигателя RA132MB2	Теор. парам.	Оценка парам.	Отн. ошиб. δ, %
Мощность, кВт	11		
Номинальная скорость вращения, об/мин	2905		
Сопротивление обмотки статора, Ом	0.4291	0.4291	0.0
Сопротивление обмотки ротора, Ом	0.3751	0.390	-3.8
Индуктивность рассеяния обмотки статора, Гн	0.0018	0.002	-1.8
Индуктивность рассеяния обмотки ротора, Гн	0.0018	0.002	-1.8
Индуктивность намагничивания, Гн	0.0924	0.094	-2.1
Инерция, кгм <sup>2</sup>	0,0195		
Коэффициент вязкого трения	0.0025		
Количество пар полюсов	1		

В табл. 2 представлена оценка параметров электродвигателя при наличии шума в измеряемых сигналах, показанных на рис. 2.

ТАБЛИЦА I. ОЦЕНКА ЭЛЕКТРИЧЕСКИХ ПАРАМЕТРОВ ЭЛЕКТРОДВИГАТЕЛЯ RA132MB2 ПРИ НАЛИЧИИ ШУМА

Параметры схемы замещения электродвигателя RA132MB2	Теор. парам.	Оценка парам.	Отн. ошиб. δ, %
Мощность, кВт	11		
Номинальная скорость вращения, об/мин	2905		
Сопротивление обмотки статора, Ом	0.4291	0.4291	0.0
Сопротивление обмотки ротора, Ом	0.3751	0.387	-3.2
Индуктивность рассеяния обмотки статора, Гн	0.0018	0.002	-1.5

Параметры схемы замещения электродвигателя RA132MB2	Теор. парам.	Оценка парам.	Отн. ошиб. δ, %
Индуктивность рассеяния обмотки ротора, Гн	0.0018	0.002	-1.5
Индуктивность намагничивания, Гн	0.0924	0.094	-1.7
Инерция, кгм <sup>2</sup>	0,0195		
Коэффициент вязкого трения	0.0025		
Количество пар полюсов	1		

В табл. 3 представлена оценка параметров электродвигателя в случае ШИМ-модуляции измеряемых сигналов, показанных на рис. 3.

ТАБЛИЦА II. Оценка электрических параметров электродвигателя RA132MB2 в случае ШИМ-модуляции

Параметры схемы замещения электродвигателя RA132MB2	Теор. парам.	Оценка парам.	Отн. ошиб. δ, %
Мощность, кВт	11		
Номинальная скорость вращения, об/мин	2905		
Сопротивление обмотки статора, Ом	0.4291	0.426	0.8
Сопротивление обмотки ротора, Ом	0.3751	0.386	-2.9
Индуктивность рассеяния обмотки статора, Гн	0.0018	0.002	-0.9
Индуктивность рассеяния обмотки ротора, Гн	0.0018	0.002	-0.9
Индуктивность намагничивания, Гн	0.0924	0.093	-1.2
Инерция, кгм <sup>2</sup>	0,0195		
Коэффициент вязкого трения	0.0025		
Количество пар полюсов	1		

Результаты моделирования показывают, что с помощью предложенного алгоритма адаптивной фильтрации можно получить оценку параметров электродвигателя с погрешностью в пределах 5%.

### IV. ЗАКЛЮЧЕНИЕ

В статье предложен алгоритм идентификации асинхронного электродвигателя параметров искажении измеряемых сигналов. Представлены результаты анализа работы идентификатора при наличии и отсутствии шума в измеряемых сигналах. Результаты анализа показывают, что алгоритм идентификации на основе предложенной регрессионной модели [3] дает удовлетворительную оценку при ШИМ-модуляции напряжений электродвигателя. Оценка вхолных электрических параметров электродвигателя предложенному алгоритму может использоваться для построения наблюдателя скорости В составе бездатчиковой системы управления электроприводом

# Список литературы

- [1] Talanov M.V., Karasev A.V., Talanov V.M. Implementation of extended Kalman filtering algorithm with improved flux estimator on TMS320F28335 processor for induction sensorless drive // Proceedings of the 6th European Embedded Design in Education and Research Conference 11-12 September 2014. Milan, Italy. IEEE. C. 119-123. doi:http://dx.doi.org/10.1109/EDERC.2014.6924371
- [2] Talanov M.V., Talanov V.M. Software and hardware solution for digital signal processing algorithms testing // E3S Web Conf., Volume 124, 2019, International Scientific and Technical Conference Smart Energy Systems 2019 (SES-2019), Article number 03006. doi: https://doi.org/10.1051/e3sconf/201912403006
- [3] Таланов М.В. Таланов В.М. Регрессионная модель для идентификации электрических параметров асинхронного электродвигателя в бездатчиковых системах управления электроприводом. // Научно-технический вестник Поволжья, 2022, №4. С. 30-33
- [4] Talanov M.V., Talanov V.M. Induction Motor Electrical Parameters Identification Algorithm Based on Adaptive IIR Filter // 2023 V International Conference on Control in Technical Systems (CTS) (Saint Petersburg, 21-23 September 2023). Saint Petersburg, 2023. pp. 103-105, doi: 10.1109/CTS59431.2023.10288770
- [5] Терехин В.Б., Дементьев Ю.Н. Компьютерное моделирование систем электропривода в Simulink: учеб. пособие для СПО. М.: Изд-во Юрайт, 2019. 306 с.
- [6] Таланов М.В. Таланов В.М. Бездатчиковая система векторного управления асинхронным электродвигателем на основе сигматочечного фильтра Калмана. // Научно-технический вестник Поволжья, 2021, №8. С. 39-44